

GSC OPEN FILE 7039 / DOSSIER PUBLIC 7039 DE LA CGC  
SMER OPEN FILE 2011-58

Auteurs : Buckle, J.L., Carson, J.M.,  
Miles, W.F., Ford, K.L., Fortin, R. et Delaney, G.

GEOPHYSICAL SERIES / SÉRIE DES CARTES GÉOPHYSIQUES  
GEOPHYSICAL COMPILATION NORTHERN SASKATCHEWAN  
COMPILATION GÉOPHYSIQUE, NORD DE LA SASKATCHEWAN

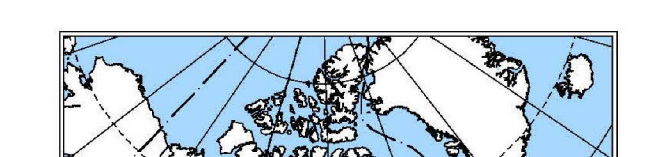
NATURAL AIR ABSORBED DOSE RATE  
TAUX D'ABSORPTION NATUREL DES RAYONS GAMMA DANS L'AIR

Scale 1:750 000  
(metres)

Projection transverse universelle de Mercator  
Système de coordonnées géographiques 1983  
© Sa Majesté la Reine du chef du Canada 2011  
Données topographiques numériques de Géomatique Canada, Ressources naturelles Canada  
Digital Topographic Data provided by Geomatics Canada, Natural Resources Canada

Digital version of this map and corresponding digital profile and gridded data can be downloaded, at no charge, from Natural Resources Canada's Geoscience Data Repository at <http://gdr.nrcan.gc.ca>. The same products are available, for a fee, from the Geological Survey of Canada's Open File program. For more information, contact: 613-995-5326, email: [gdr@nrcan.gc.ca](mailto:gdr@nrcan.gc.ca)

On peut télécharger la version numérique de cette carte et les données correspondantes en format profil et en format grille. On peut également obtenir ces produits, à un prix, à partir du programme d'ouvrage de la Commission géologique du Canada, Ottawa, 615, rue Bloor, Ottawa (Ontario) K1A 0E6. Téléphone : 613/995-5326, courriel : [gdr@nrcan.gc.ca](mailto:gdr@nrcan.gc.ca).



Location Map - Carte de localisation

GEOPHYSICAL COMPILATION NORTHERN SASKATCHEWAN

This geophysical map of the Athabasca Basin Region is one of a set of ten 1:750 000 regional compilation maps that include four measured variables: potassium (K), equivalent uranium (eU) equivalent thorium (eTh) and total magnetic field, and six derived products. The derived products include the natural air absorbed dose rate calculated from a linear combination of K, eU and eTh; the ratios eU/eTh, eU/K and eTh/K; the temporal derivative of the magnetic field (upward continued by 100 m). The set of maps was produced using data from the digital archives of Natural Resources Canada's Geoscience Data Repository for Geophysical and Geochemical Data. The data were collected by federal, provincial and local governments, industry, and contracted organizations using various methods. The data are provided in digital form and are intended for use in mineral exploration, environmental management, and contracted research, using federal, provincial and local government funding. Most data were originally published as 1:100 000 scale maps or line contour and stacked profile maps as GSC and Saskatchewan Ministry of Energy and Resources (SMER) Open Files or Geophysical Series Maps.

Data were collected using 50 lineal metres of sodium iodide detectors and a split-beam cesium vapour magnetometer (sensitivity = 0.005 nT) rigidly mounted to the aircraft at a nominal terrain clearance of 120 metres along flight lines spaced at between 400 and 5000 metres intervals. Those surveys flown with flight lines spaced at 500 metre intervals or less exhibit a higher frequency colour texture, see the index map (Figure 1) for an outline and Table 1 for a list of the high resolution surveys. The closer line spacing allows increased spatial resolution of geophysical signatures, supporting more detailed interpretation.

Potassium is measured directly from the 1460 keV gamma ray photons emitted by  $K^{40}$ . Uranium and thorium, however, are determined indirectly from gamma ray photons emitted by daughter products  $B^{37}$  and  $Tl^{204}$ , respectively, assuming equilibrium between daughter and parent isotopes. For this reason, gamma ray spectrometric measurements of uranium and thorium are referred to as equivalent uranium (eU) and equivalent thorium (eTh).

Standard energy windows were used to record the raw window counts prior to conversion to standard concentration units, including system dead time, background activity from cosmic radiation, the aircraft and atmospheric radar decay products, spectral scattering in the ground, air and detectors, deviations of altitude from the planned terrain clearance, and temperature and pressure variation.

These maps depict radioactivity originating from the upper 30 cm of the Earth's surface. The influence of varying amounts of outcrop, overburden, vegetation, soil moisture and surface water results in measured concentrations that are usually lower than underlying bedrock concentrations.

Throughout the diverse lithologic terranes surveyed, the geochemical information presented in a coloured contour format supports mapping of bedrock and surficial geological and mineral exploration, at regional and local scales (Shive et al., 1995). More detailed interpretation is encouraged through the use of the original line data, available from the Geological Survey of Canada's Geoscience Data Repository for Geophysical and Geochemical Data (<http://gdr.nrcan.gc.ca>).

In areas with thin or discontinuous drift cover, the radioactive element patterns provide direct assistance to bedrock geological mapping, depicting both macroscopic lithological variations in crop residue and subtle differences in bedrock glaciogenic, glaciocluveliac, or otherwise weathered bedrock. In areas with thick drift cover, the radioactive element patterns may delineate the types of surficial materials and will reflect the bedrock beneath them, or even the bedrock itself. Shive et al. (1995) have shown that radioactive element patterns offer valuable direct and indirect exploration guides for a variety of mineral commodities. Direct applications include the search for radioactive mineral deposits where uranium and thorium are the primary targets, or where one or more of the radioactive elements are present as an associated trace element. Gamma ray spectrometry can also provide valuable indirect applications for mineral exploration when one or more of the radioactive elements are either enriched or depleted as a result of alteration associated with mineralization.

The magnetic field was sampled 10 times per second using a split-beam cesium vapour magnetometer (sensitivity = 0.005 nT) rigidly mounted to the aircraft. Differences in magnetic values at the intersections of control and traverse lines were computer-analyzed to obtain a mutually leveled set of flight-line magnetic data. The leveled values were then interpolated to a 100 m grid. The International Geomagnetic Reference Field (IGRF) defined at the average GPS altitude and time of the survey was then removed. Removal of the IGRF, representing the magnetic field of the Earth's core, produces a residual component related essentially to magnetizations within the Earth's crust.

The first vertical derivative of the magnetic field is the rate of change of the magnetic field in the vertical direction. Computation of the first vertical derivative removes long wavelength features of the magnetic field and significantly improves the resolution of closely spaced and superposed anomalies. A property of first vertical derivative maps is the coincidence of the zero-value contour with vertical contacts of magnetic units at high magnetic latitudes (Hood, 1965).

COMPILATION GÉOPHYSIQUE, NORD DE LA SASKATCHEWAN

The carte géophysique de la région du bassin de l'Athabasca fait partie d'un ensemble de dix cartes régionales de compilation à l'échelle de 1:750 000 qui comprennent quatre variables mesurées (potassium (K), équivalent uranium (eU) et équivalent thorium (eTh), champ magnétique total) et six produits dérivés. Les produits dérivés comprennent le débit de dose absorbée dans l'air ambiant calculé à partir d'une combinaison linéaire de K, eU et eTh; les rapports eU/eTh, eU/K et eTh/K, la carte terrière des éléments radioactifs (Brome et coll., 1987) et la dérivée verticale du champ magnétique (prolongée vers le haut de 100 m). Ces éléments de carte ont été produits à l'aide des données radioactives numériques collectées entre 1974 et 2010. Les levés aériens ont été réalisés par la Commission géologique du Canada (CGC) au moyen d'un avion sous contrat, grâce à un financement du gouvernement provincial ainsi qu'à un financement conjoint des gouvernements fédéral et provincial. Initialement, la plupart des données ont été publiées sous forme de cartes de lignes ou de profils cumulatifs, dans des dossier publics ou des cartes de la géologie physique de la CGC et du SIRS.

Ces données sont recueillies au moyen de détecteurs à cristaux d'iode de sodium (volume de 50 litres) et d'un magnétomètre au célium à faisceau partagé (sensibilité = 0.005 nT) rigide fixé à l'avion avec une altitude nominale au-dessus du sol de 120 mètres le long de lignes de vol à espacement entre 500 et 400 mètres. Les levés dont l'espacement entre les lignes de vol était de 500 mètres ou moins présentent une plus grande fréquence des plages de couleur; la carte-index (Figure 1) indique la délimitation des levés à haute résolution.

Le potassium est mesuré directement après les photons gamma de 1460 keV émis par  $K^{40}$ , tandis que l'uranium et le thorium sont déterminés indirectement à partir des photons gamma émis par les produits de filtration  $B^{37}$  et  $Tl^{204}$ , respectivement, en presumes qu'il existe un équilibre entre les radionucléides de l'uranium et leur radionucléide-père. Ainsi, les mesures gamma émises par les produits de filtration  $B^{37}$  et  $Tl^{204}$ , respectivement, sont dénommées comme des équivalents d'uranium (eU) et des équivalents de thorium (eTh).

Des plans de deux types ont été utilisés pour enregistrer les compilations de rayons gamma, soit à 1370 à 1570 keV pour le potassium, de 1660 à 1860 keV pour l'uranium et de 2410 à 2810 keV pour le thorium. Ces derniers sont utilisés pour la détection de radon et la mesure de la densité de la roche et de la température de la roche. Les plans de deux types ont été utilisés pour tenir compte du temps mort, du rayonnement de fond du rayonnement cosmique, de la radicativité de l'avion et des produits de désintégration du rayon atmosphérique, de la diffusion spectrale dans le sol, l'air et les capteurs des écarts à la hauteur de vol prévue et des variations de température et de pression.

Ces cartes représentent la radicativité provenant des 30 cm supérieurs de la surface de la Terre. L'influence des étiendues variables des affleurements, des morts-terrains, des couvertures végétales, de l'humidité du sol et de l'eau de surface a pour effet que les concentrations mesurées sont habituellement plus faibles que les concentrations dans le substratum rocheux sous-jacent.

Pour l'ensemble des divers terrains lithologiques qui ont fait l'objet de levés, l'information géophysique fournie par les variations des concentrations en potassium, uranium et thorium, présente des informations utiles pour l'exploration minérale, sciererie et d'assainissement, mais aussi pour l'exploration minière, ainsi que l'exploration métallifère. Ces détails sont fournis à l'échelle de la section et de l'unité lithologique.

Dans les régions où la couverture glacio-sédimentaire est mince ou discontinue, la configuration des concentrations de radicativité soutient directement la cartographie de la géologie du substratum rocheux, représentant à la fois les variations lithologiques macroscopiques et les variations sibyllines de la composition (Shive et coll., 1995). Dans les régions couvertes de plus épaisse débris fluvigénaires, glaciocluveliacs et autres débris glaciaires remaniés, la configuration des concentrations de radicativité peut servir à identifier les types de matrice superficielle, mais aussi les compositions du substratum rocheux à l'échelle d'un détritum, voire d'un tout. Shive et coll. (1995, 1997) ont montré que la configuration des concentrations de radicativité peut être utilisée directement pour l'exploration à la recherche de divers minéraux métallifères. Les applications directes comprennent la recherche de gisements de minéraux radioactifs, où l'uranium et le thorium sont les principales cibles, ou encore d'éléments radioactifs comme éléments trace qui leur sont associés. La spectrométrie gamma peut également favoriser des applications indirectes utiles pour l'exploration minérale quand un ou plusieurs radicativités sont enrichis, soit apparaissant à la suite d'une altération associée à la minéralisation.

Le champ magnétique a été échantilloné 10 fois par seconde à l'aide d'un magnétomètre au célium à faisceau partagé (sensibilité = 0.005 nT) rigide fixé à l'avion. Les altérations de valeur peuvent être attribuées aux variations de densité de la roche et au rayonnement cosmique. La dérivée verticale du champ magnétique est mutuellement nivelée sur les lignes de vol. Ces valeurs nivelées ont ensuite été interpolées à l'aide d'une grille à maille de 100 m. Le champ géomagnétique international de référence (International Geomagnetic Reference Field, IGRF), défini à l'altitude moyenne au dessus de la mer pour l'année du levé, a été soustrait. La soustraction de l'IGRF, qui représente le champ magnétique du noyau terrestre, fournit une composante résiduelle essentiellement reliée à la magnetisation de l'écorce terrestre.

La dérivée première verticale du champ magnétique représente le taux d'variation verticale du champ magnétique suivant la verticale. Le taux de la dérivée première verticale suppose les composantes de grande longueur d'onde du champ magnétique et améliore considérablement la résolution des anomalies approchées les unes des autres ou superposées. L'une des propriétés des cartes de la dérivée première verticale est la concordance de l'oscillation de valeur zéro et des contacts verticaux aux hautes latitudes magnétiques (Hood, 1965).

References/ Références bibliographiques:

- Brome, J., Carson, J.M., Grant, J.A. and Ford, K.L. (1987) A modified temary radiocesium mapping technique and its application to the South Coast of Newfoundland; Geological Survey of Canada, Paper 103, 10 p.  
Carson, J.M., Holman, P.B., Ford, K.L., Grant, J.A. and Shive, R.B.K. (2002a) Airborne Gamma Ray Spectrometry Compilation Series, Lake Athabasca, Alberta - Saskatchewan; Geological Survey of Canada, Open File 4253, scale 1:1 000 000  
Carson, J.M., Holman, P.B., Ford, K.L., Grant, J.A. and Shive, R.B.K. (2002b) Airborne Gamma Ray Spectrometry Compilation Series, Wollaston Lake, Saskatchewan; Geological Survey of Canada, Open File 4254, scale 1:1 000 000  
Carson, J.M., Holman, P.B., Ford, K.L., Grant, J.A. and Shive, R.B.K. (2002c) Airborne Gamma Ray Spectrometry Compilation Series, Prince Albert, Saskatchewan; Geological Survey of Canada, Open File 4251, scale 1:1 000 000  
Hood, J.R. (1965) Gradient measurements in magnetometric surveys; Geophysics, v. 30, p. 891-902.  
Shive, R.B.K., Cherbounik, B.W. and Ford, K.L. (1997) The detection of potassic alteration by gamma-ray spectrometry - Recognition of alteration related to mineralization; p. 741-752, in Proceedings of Exploration '97, Fourth Decennial International Conference on Mineral Exploration, edited by A.G. Gibbons, 1069 p.

MAP SHEET SUMMARY / SOMMAIRE DES FEUILLETS

| GSC Sheet<br>CGC Feuillet  | MAP / CARTE |
|--|-------------|
| 1. Natural Air Absorbed Dose Rate<br>Taux d'absorption naturel des rayons gamma dans l'air           |             |
| 2. Potassium   |             |
| 3. Uranium   |             |
| 4. Thorium   |             |
| 5. Uranium / Thorium   |             |
| 6. Uranium / Potassium   |             |
| 7. Temporal Derivative Map<br>Dérivée temporelle du champ magnétique                                 |             |
| 8. Residual Total Magnetic Field<br>Composante résiduelle du champ magnétique total                  |             |
| 9. First Vertical Derivative of the Magnetic Field<br>Dérivée première verticale du champ magnétique |             |

Table 1. List of high resolution (<500 metre line spacing) survey index maps. Survey details shown in Table 1. Figure 1. High resolution (<500 metre line spacing) survey index map. Survey details shown in Table 1. Figure 1. Carte-index des levés à haute résolution (espacement des lignes de vol <500m). Voir les détails des levés au Tableau 1.

| Survey Number<br>Numéro du Levé | Survey<br>Année de Publication | Line Spacing<br>Éspacement des lignes de vol | Flown By<br>Réalisé par |
|---------------------------------|--------------------------------|--|-------------------------|
| 1                               | Phénacite Encinal              | 2001   | Sander Geophysical Ltd. |
| 2                               | Tazhi Lake                     | 2001   | Sander Geophysical Ltd. |
| 3                               | Pete Lake                      | 2006   | Fugro Airborne Surveys  |
| 4                               | Ukash Foster Lake              | 2006   | Fugro Airborne Surveys  |
| 5                               | Cree Lake                      | 2007   | Sander Geophysical Ltd. |
| 6                               | Churchill River                | 2009   | Sander Geophysical Ltd. |
| 7                               | Southern Athabasca Basin       | 2009   | Fugro Airborne Surveys  |
| 8                               | Eastern Athabasca Basin        | 2010   | Goldak Airborne Surveys |
| 9                               | Northwest Athabasca Basin      | 2011   | Goldak Airborne Surveys |

Table 1. List of high resolution (<500 metre line spacing) survey index maps. Tableau 1. Levés à haute résolution (espacement des lignes de vol <500m).

Table 1. Carte-index des levés à haute résolution (espacement des lignes de vol <500m). Voir les détails des levés au Tableau 1.

OPEN FILE  
DOSSIER PUBLIC  
7039

Geological Survey of Canada  
Commission géologique du Canada  
2011

Sheet 1 of 10  
FEUILLET 1 DE 10

OPEN FILE  
2011-58

Saskatchewan Ministry of Energy and Resources  
2011

Sheet 1 of 10  
FEUILLET 1 DE 10

OPEN FILE  
2011-58

Saskatchewan Ministry of Energy and Resources  
2011

Sheet 1 of 10  
FEUILLET 1 DE 10

OPEN FILE  
2011-58

Saskatchewan Ministry of Energy and Resources  
2011

Sheet 1 of 10  
FEUILLET 1 DE 10

The acquisition of the geophysical data and production of these compilation maps were funded by the Saskatchewan Ministry